УДК 550.832

А. А. Бубеев, Н. Г. Лобода ООО "Нефтегазгеофизика" Т. В. Сопнев, И. Р. Дубницкий ОАО "Севернефтегазпром"

ОЦЕНКА ВЛИЯНИЯ ГАЗОНАСЫЩЕННОСТИ НА РАДИОАКТИВНЫЕ МЕТОДЫ КАРОТАЖА В УСЛОВИЯХ ТУРОН-СЕНОМАНСКОГО КОМПЛЕКСА ЮЖНО-РУССКОГО ЛИЦЕНЗИОННОГО УЧАСТКА

Представлены результаты моделирования комплекса радиоактивных методов (2ННК–2ГГК-П) применительно к условиям газовых залежей турон-сеноманского комплекса Южно-Русского лицензионного участка.

Ключевые слова: каротаж, нейтронные и гамма-гамма-методы, газонасыщенность, математическое моделирование.

В последние годы совершенствование оценки коллекторов в основном определялось накоплением новой петрофизической информации, в том числе уникальной, а также внедрением в практику новых методов ГИС. В то же время имеются возможности решения этой задачи за счет повышения информативности ГИС на основе математического моделирования и решения прямых задач применительно к конкретным условиям объекта исследований. Синтез информации петрофизических исследований, результатов математического моделирования и анализа результатов измерений ГИС позволяет уточнить область применения методов ГИС, а также прогнозировать их эффективность в условиях новых и перспективных технологий проводки скважин.

Цель и подходы к моделированию

Радиоактивный каротаж является важнейшим методом для литологического расчленения разреза, выделения и оценки емкости газонасыщенных коллекторов. Особенностью методов является существенное влияние на результаты измерений состава пород. Для объекта исследований дополнительным сильным влияющим фактором является газонасыщенность при небольшом давлении газа в пластовых условиях. Оба фактора сильно влияют на показания нейтронного и гамма-гамма-плотностного каротажей, которые используются при исследовании вертикальных и горизонтальных скважин. Существующие зависимости (палетки), позволяющие оценивать по данным комплекса 2HHK-2ГГК-П пористость (k_{Π}) и остаточную газонасыщенность (k_r) , имеют универсальный характер, однако в полной мере не отражают специфику состава пород объекта исследований.

Основной задачей моделирования, поставленной в данной работе, являлось получение набора теоретических зависимостей нейтронного каротажа, позволяющих определять k_{Π} и $k_{\Gamma}(k_{\Gamma 0})$ по данным комплекса 2ННК-2ГГК-П применительно к условиям газовых залежей туронсеноманского комплекса Южно-Русского лицензионного участка (ЮРЛУ).

Моделируемая аппаратура. Математическое моделирование проведено для аппаратуры СРК-76 в модификациях компенсированного нейтронного каротажа по тепловым нейтронам (2ННК-Т). Для 2ГГК-П расчет пористости проведен по объемной модели в рамках выбранного набора компонент и может быть использован для любой аппаратуры плотностного каротажа по формуле

$$k_{_{\Pi}}(2\Gamma\Gamma \text{K-}\Pi) = \frac{\rho_{_{\text{CK}}} - \rho_{_{\text{ИЗМ}}}}{\rho_{_{\text{CK}}} - \rho_{_{\Pi \text{Ж}}}} \cdot 100\%$$
, где $\rho_{_{\text{CK}}} = 2,625\ \emph{г/см}^3 -$ плотность скелета; $\rho_{_{\Pi \text{Ж}}} = 1\ \emph{г/см}^3 -$ плотность промывочной жидкости; $\rho_{_{\text{ИЗМ}}} -$ плотность

породы, задаваемая в расчетах.

Подходы к моделированию. Показания аппаратуры СРК-76 в модификациях компенсированного нейтронного каротажа по тепловым нейтронам моделировались методом Монте-Карло. Математическое моделирование проводилось с помощью лицензионного пакета программ MCNP5 (Monte Carlo N-Particle Transport), адаптированного для решения данной задачи.

На рис. 1 приведена схема геометрии расчетов, использованная при моделировании показаний аппаратуры СРК-76. Геометрия задачи представляет собой систему прибор—скважина—пласт. Прибор прижат к стенке скважины. Пласт облучается нейтронами от точечного изотропного Рu-Ве источника, расположенного на оси прибора. Регистрация тепловых нейтронов осуществляется на двух расстояниях от источника гелиевыми счетчиками типа СНМ (ближний или малый зонд (МЗ) и дальний или большой зонд (БЗ)). Между источником и детектором располагается фильтр из сильного рассеивателя нейтронов (стали) около источника и замедлителя нейтронов (водородсодержащего вещества) и около детекторов.

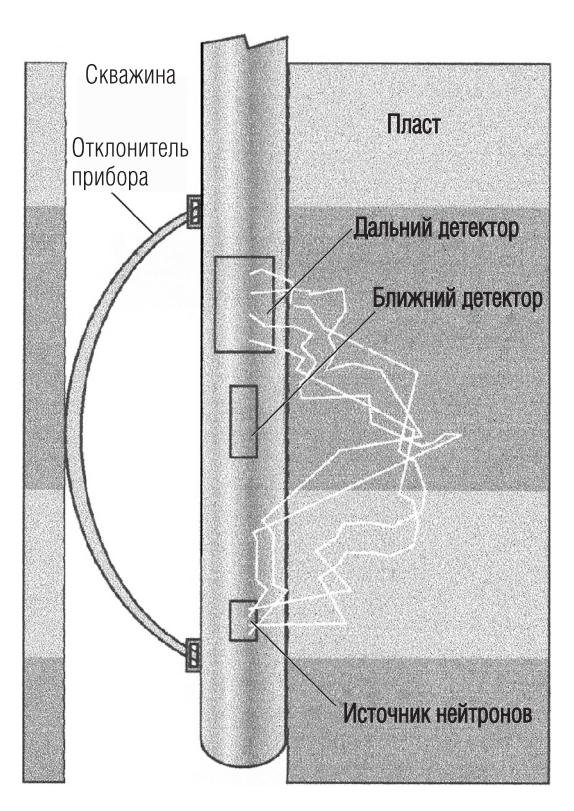


Рис. 1. Типичная схема измерений прибора СРК-76 с зондом 2ННК-Т

При распространении нейтронов учитывалось упругое и неупругое рассеяние, радиационный захват нейтронов. Для моделирования рассеяния медленных нейтронов на атомах водорода использовалась $s\left(a,b\right)$ -обработка, позволяющая учитывать эффекты химической связи в молекуле воды и тепловое движение атомов.

Соответствие принятой математической модели нейтронного каротажа было подтверждено результатами сопоставления расчетных данных и измерений на натурных моделях пластов в метрологическом центре г. Раменское.

Результаты математического моделирования использовались для расчета пористости по отношению показаний зондов $k_{\rm n}({\rm 2HHK-T})$. Значение $k_{\rm n}({\rm 2HHK-T})$ определялось по палетке для известняка, представленного чистым кальцитом с плотностью 2,71 e/cm^3 , поры которого заполнены пресной водой с плотностью 1,00 e/cm^3 , глинистая корка отсутствует, прибор лежит на стенке скважины, температура окружающей среды 20 °C, давление 0,1 $M\Pi a$.

Расчеты были выполнены для скважины диаметром 216 мм. Минерализация промывочной жидкости в скважине 0 z/π NaCl, плотность $1,00\ z/cm^3$.

Модель породы и ее параметры

При выборе параметров моделей породы учитывались петрофизические характеристики турон-сеноманских отложений и необходимость построения "завершенных" палеток. Поэтому круг моделируемых ситуаций был расширен по сравнению со встречающимися на объекте исследований.

Объемные компоненты. Принято, что порода включает минеральный скелет, глину и поровую емкость: $k_{\Pi} + k_{\Gamma\Pi} + k_{CK} = 1$; коэффициент пористости варьирует от 0 до 50% с шагом 5%; при расчетах коэффициент глинистости $k_{\Gamma\Pi}$ принят равным 0; 0,1; 0,2; 0,4; 0,5.

Выбор такого набора значений глинистости, в том числе больших значений, связан с тем, что в разрезе турона развиты как комплексы с рассеянным типом глинистости, так и тонкослоистые пачки со слоистой глинистостью. По известным исследованиям (И. В. Головацкая и др.) рассеянная глинистость преобладает в породах до содержания глины 13%, слоистая преобладает при содержании глины более 30%, в интервале 13–30% могут отмечаться как рассеянная, так и слоистая

глинистость. Выбранные значения параметра $k_{{\scriptscriptstyle \Gamma}\!{\scriptscriptstyle \Pi}}$ охватывают весь возможный диапазон изменения глинистости.

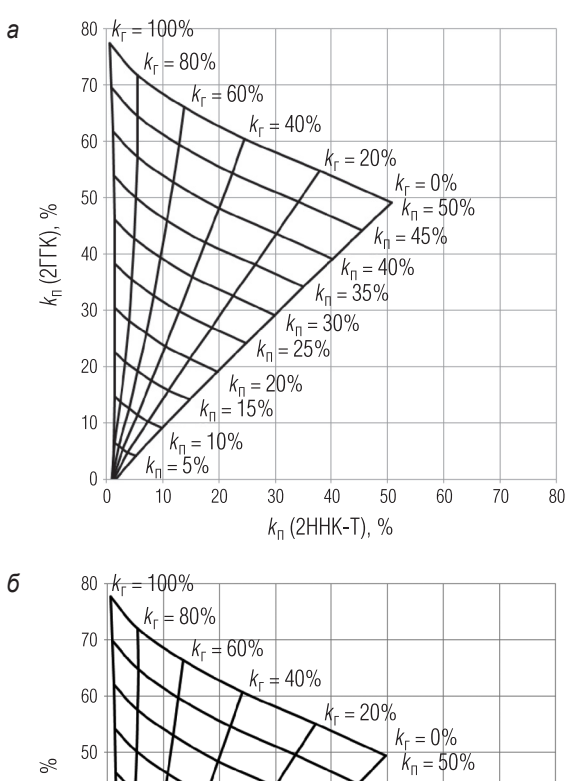
Процентное содержание скелета оценивается из объемной модели: $k_{\rm ck}=1-k_{\rm fl}-k_{\rm th},\ k_{\rm ck}\geq 0.$

Компонентный состав. Пористость заполняет вода и газ, $k_{\rm r}+k_{\rm B}=1$. При моделировании значения $k_{\rm r}$ для завершенности палеток принимались равными 0; 0,20; 0,40; 0,60; 0,80; 1,00, значения $k_{\rm B}=1-k_{\rm r}$. Расчетная плотность газа ${\rm CH_4}$ в термобарических условиях турон-сеноманских отложений принята равной 0,08 $e/c m^3$.

Скелет. При моделировании принято, что скелет породы соответвует аркозам, состоит из кварца и полевого шпата в равных объемах: $k_{\text{KB}} + k_{\text{пш}} = 1$; $k_{\text{KB}} = k_{\text{пш}} = 0.5$.

Глина. Минеральный состав глин принят по данным обобщения результатов полуколичественного рентгеноструктурного анализа по скважинам ЮРЛУ. Отмечается достаточно четкая зависимость усложнения минерального состава глин при увеличении глинистости и увеличении дисперсности в ряду песчаник—алевролит. В наиболее чистых высокопористых песчаниках и песках пласта ПК₁ преобладает каолинит, с увеличением глинистости его доля снижается за счет увеличения содержания хлорита и гидрослюды и, в меньшей степени, смектитов. В алевролитах содержание каолинита снижается до фоновых значений. Отмеченные закономерности позволяют выделить три базовых состава минералогии глин, отраженных в таблице и принятых при моделировании нейтронного каротажа.

Глинистые минералы имеют различное соотношение элементов, в частности магния (Mg) и железа (Fe). Геохимических данных о конкретных модификациях глинистых минералов не имелось, и моделирование проведено для "легких" Mg-глин. В то же время по косвенным признакам можно предполагать присутствие в изучаемых отложениях и "тяжелых", железистых глин. Влияние элементного состава глин на показания нейтронного каротажа исследовано отдельно путем замены Mg-модификаций хлорита и гидрослюды на Fe-модификации.



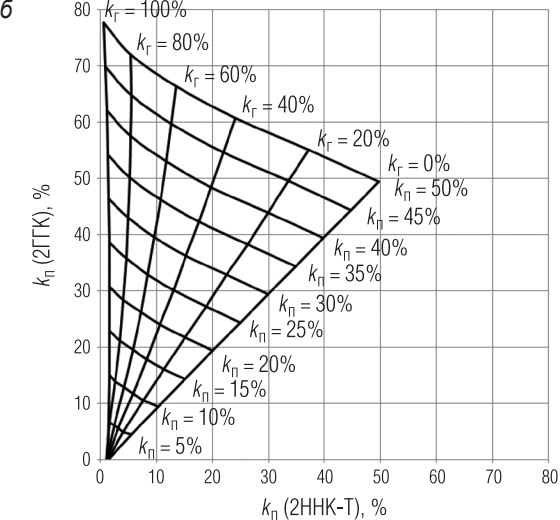


Рис. 2. Пример палеток НК–ГГК-П: a – песчаник глинистый, $k_{\rm rn}$ = 10%; δ – алевролит, $k_{\rm rn}$ = 10%

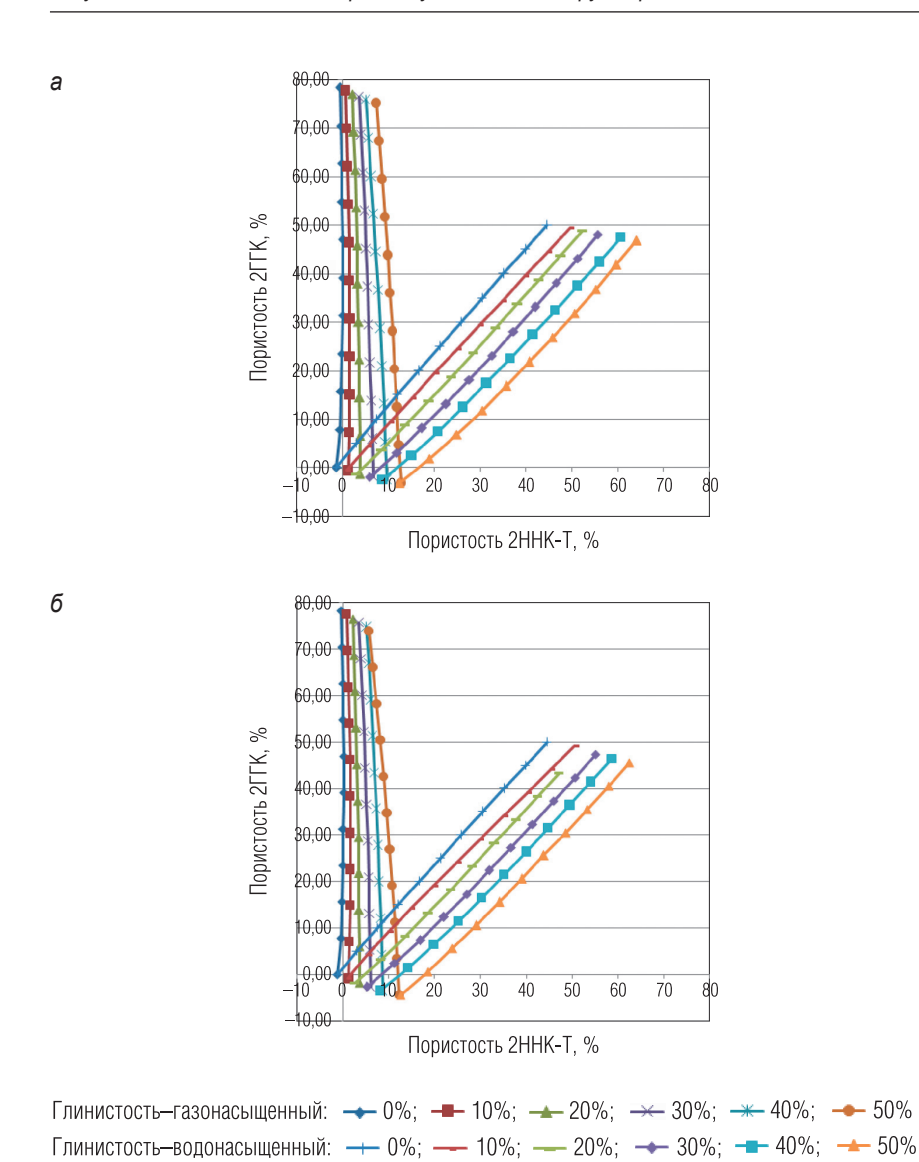


Рис. 3. Предельные ветви палеток по газонасыщенности ($k_{\rm r}$ = 0; 100%) при различной глинистости: a — песчаник глинистый (сеноман); δ — алевролит (турон)

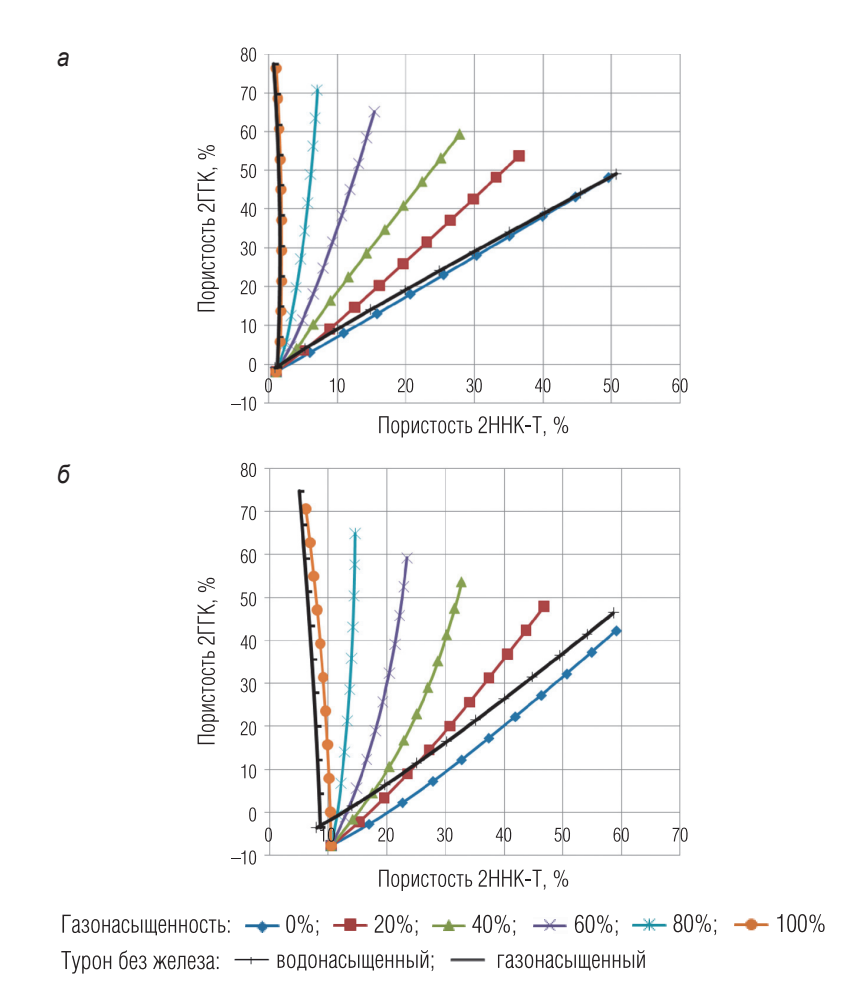


Рис. 4. Влияние железа в составе глин на изменение расчетной пористости. Туран (Fe): a – глинистость 10%; δ – глинистость 40%

Основные результаты моделирования для комплекса 2HHK-2ГГК-П

По результатам моделирования были получены палетки, которые соответствуют реальному составу пород турон-сеноманских отложе-

ний и помимо определения $k_{\rm II}$ и $k_{\rm TO}$ могут использоваться для выделения газонасыщенных коллекторов и контроля качества материалов.

Палетки сгруппированы в три группы по составу глин (табл.). Внутри каждой группы палетки имеют шифр $k_{\rm гл}$. Две последние палетки отражают присутствие Fe-модификации хлорита и гидрослюды в алевролитах турона. Пример палеток приведен на рис. 2.

Таблица Минеральный состав глин для моделирования

Литология	Каолинит	Иллит (гидрослюда)	Хлорит	Смектит
Алевролит глинистый (турон)	10	40	35	8 монтмориллонит 7 гидрослюда
Песчаник глинистый (сеноман)	35	30	20	8 монтмориллонит 7 гидрослюда
Песчаник чистый (сеноман)	85	7	8	0

На рис. 3 приведено совмещение палеток по трем группам по крайним ветвям (доля газа 100% и 0%).

На рис. 4 показана степень влияния элементного состава глин (изменение Mg-модификаций хлорита и гидрослюды на Fe-модификации) на показания нейтронного каротажа.

Выводы

Приведенные результаты моделирования, наряду с существующим петрофизическим обеспечением, позволяют расширить возможности определения параметров разреза газовых залежей турона и сеномана ЮРЛУ.

По результатам моделирования установлена достаточная чувствительность ГГК-НК к присутствию газа в зоне исследования методов как для разреза турона, так и для сеномана.

Получены палетки и зависимости для определения пористости и газонасыщенности для отложений турона и сеномана ЮРЛУ.

Рецензент доктор техн. наук Э. Г. Урманов